

【发现与进展】

doi: 10.12029/gc20220929002

# 大兴安岭南段安乐锡多金属矿床锡石 U-Pb 年龄及对成矿时代的限定

于灵艳<sup>1</sup>, 王丰翔<sup>2,3</sup>, 王飞<sup>4</sup>, 王磊<sup>2,3</sup>, 刘翼飞<sup>3</sup>, 李卓然<sup>2</sup>, 崔美娟<sup>1</sup>

(1. 河北地质大学华信学院, 河北 石家庄 050702; 2. 河北省战略性关键矿产资源重点实验室 河北地质大学, 河北 石家庄 050031;  
3. 河北省光电信息与地球探测技术重点实验室 河北地质大学, 河北 石家庄 050031; 4. 青海省地质调查局, 青海 西宁 810001)

Cassiterite U-Pb age of Anle Sn-polymetal deposit in the southern part of Great Xing'an Range: Constraints on the age of Sn-polymetal mineralization

YU Lingyan<sup>1</sup>, WANG Fengxiang<sup>2,3</sup>, WANG Fei<sup>4</sup>, WANG Lei<sup>2,3</sup>, LIU Yifei<sup>3</sup>, LUAN Zhuoran<sup>2</sup>, CUI Meijuan<sup>1</sup>

(1. Huaxin College of Hebei GEO University, Shijiazhuang 050702, Hebei, China; 2. Hebei Key Laboratory of Strategic Critical Mineral Resources, Hebei GEO University, Shijiazhuang 050031, Hebei, China; 3. Hebei Key Laboratory of Optoelectronic Information and Geo-detection Technology, Hebei GEO University, Shijiazhuang 050702, Hebei, China; 4. Qinghai Geological Survey, Xining 810001, Qinghai, China)

## 1 研究目的(Objective)

安乐锡多金属矿床位于大兴安岭南段, 是一个以“S型”断裂控制的 Sn (W)-Cu-Ag (Pb-Zn) 多金属矿化为特征的典型锡多金属矿床。锡多金属矿化主要寄宿在斑状花岗岩体内, 在空间上与高分异的早白垩世花岗斑岩密切有关。然而, 由于缺乏高精度的锡多金属成矿时代, 安乐矿床的成矿时代和成因机制尚不明确, 在成因上是否与花岗斑岩有关仍然存在较大的争论。本研究提供了新的 LA-ICP-MS 锡石 U-Pb 年龄, 为综合研究锡多金属矿化的成因提供了高精度的年代学依据。

## 2 研究方法(Methods)

锡石 LA-ICP-MS U-Pb 测年分析利用 Neptune、Thermo Fisher Scientific MC-ICP-MS 在天津地质矿产研究所测试完成。激光采样使用 ESIUP193FX ArF 准分子激光烧蚀系统, 操作波长为 193 nm, 脉冲宽度为 5 ns。使用内部标准样品 (GJ-1 和 SRM 610), 用于纠正仪器质量偏差和激光诱导的 U-Pb 分馏。利用 ISOPLOT 程序对  $^{238}\text{U}/^{206}\text{Pb}$ - $^{206}\text{Pb}/^{207}\text{Pb}$  值进行了  $2\sigma$  水平的校正。

## 3 研究结果(Results)

31 个锡石样品分别采自于矿床的下段 Sn (W) 矿化段 (A 带) 和中部的 Sn (Cu) (B 带)。阴极发光图形显示, 锡石主要呈自形—自形粒状 (1~1.5 mm) (图 1a), 多以浸染状和集合体形式赋存在石英脉和花岗斑岩内。31 个测试点的 U 和 Pb 的质量分别介于  $1.99 \times 10^{-6} \sim 567.11 \times 10^{-6}$  和  $0.93 \times 10^{-6} \sim 13.87 \times 10^{-6}$  (见附表)。 $^{207}\text{Pb}/^{235}\text{U}$  和  $^{206}\text{Pb}/^{238}\text{U}$  的比值分别介于 1.38 ~ 481.89 和 0.0333 ~ 3.9782。校正后的比值具有良好的线性关系, 得到可靠的等时线年龄为  $(144 \pm 13)\text{ Ma}$  ( $\text{MSWD} = 0.37$ ; 图 1a), 与赋矿的斑状花岗岩的锆石 U-Pb 年龄 ( $(144 \pm 3)\text{ Ma}$ ,  $\text{MSWD} = 3.2$ ) 非常吻合, 说明锡多金属成矿与斑状花岗岩具有成因联系。

## 4 结论(Conclusions)

本研究测得的锡石 LA-ICP-MS U-Pb 年龄  $(144 \pm 13)\text{ Ma}$  与赋矿的花岗斑岩的锆石 U-Pb 年龄  $(144 \pm 3)\text{ Ma}$  高度一致。这表明, 安乐锡多金属矿床与高分异的斑状花岗岩的侵位具有时空和成因学上的联系。锡多金属矿化可能是岩浆热事件不断演

作者简介: 于灵艳, 女, 1988 年生, 讲师, 矿物学、岩石学、矿床学专业; E-mail: 327716979@qq.com。

通讯作者: 王丰翔, 男, 1984 年生, 助理研究员, 矿产勘查专业, 从事大型—超大型矿床研究; E-mail: wfx0316@163.com。

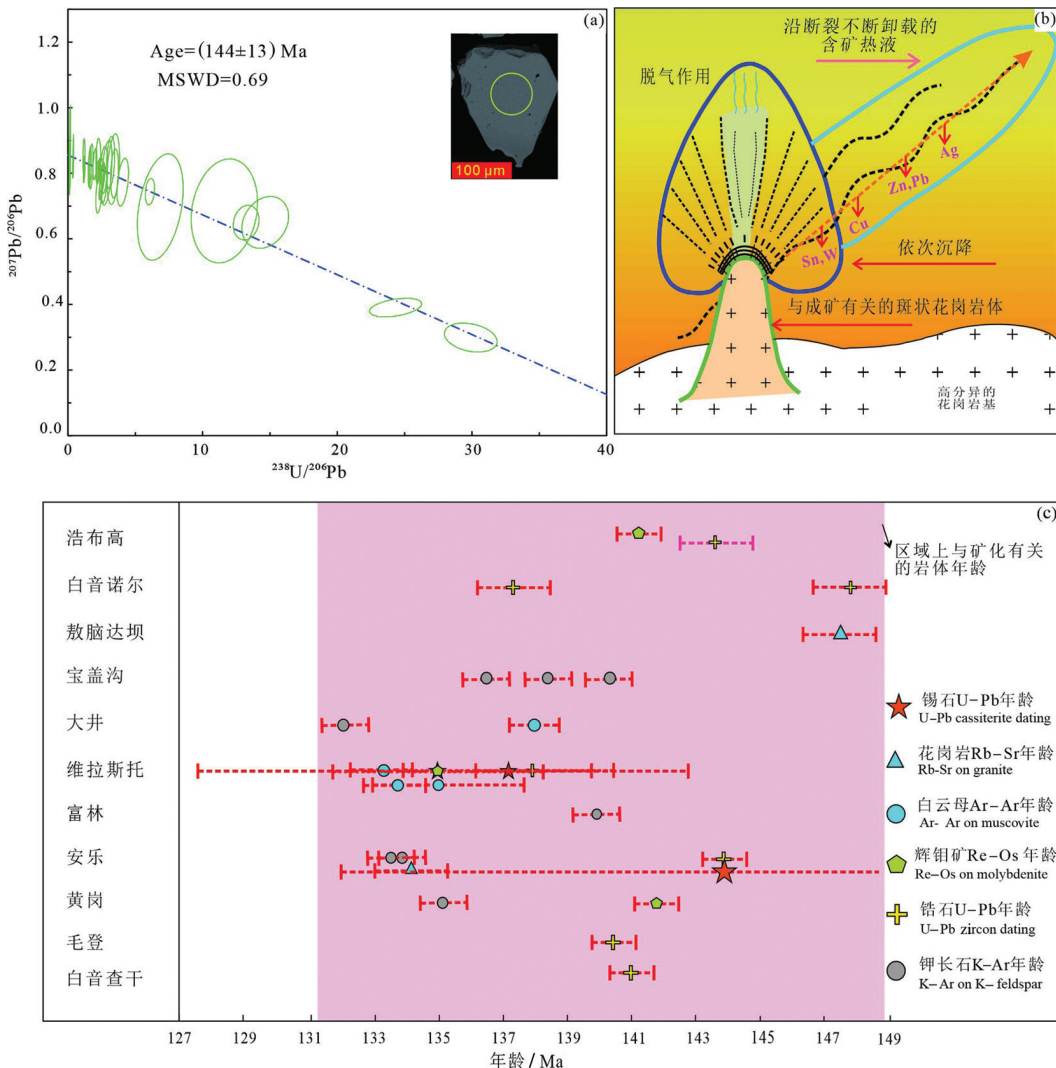


图1 (a) 锡石 $^{238}\text{U}/^{206}\text{Pb}$ - $^{207}\text{Pb}/^{206}\text{Pb}$ 等时线图并显示典型的锡石阴极发光照片和U-Pb测试位置(黄色圆圈);(b)高分异花岗岩斑岩与安乐成矿系统的成因联系及成矿元素的卸载顺序和空间定位;(c)大兴安岭南段区域性富锡侵入岩体和典型锡多金属矿床年代学构架

Fig.1 (a)  $^{238}\text{U}/^{206}\text{Pb}$ - $^{207}\text{Pb}/^{206}\text{Pb}$  isochron diagram with typical cassiterite cathode luminescence photo graph and U-Pb test location(yellow ciecle); (b) Carton showing temporal and spatial evolution of ore-forming element, such as Sn, W, Cu, Zn, Pb and Ag in the Anle Sn-polymetal mineral system; (c) The chronology of regional Sn-rich intrusions and typical Sn-polymetallic deposits in the south segment of the Great Xing'an Range.

化的结果,结晶分异可能在其演化过程中发挥了重要作用(图1b)。随着温度、压力、氧逸度等物化条件的变化,Sn-W、Cu、Pb-Zn-Ag不断卸载,形成了多金属矿化的特征。

本次测得的锡石U-Pb年龄( $\sim 144$  Ma)与大兴安岭南段锡多金属成矿峰值期( $149 \sim 131$  Ma)基本一致(图1c)。这一时期在大兴安岭形成了大量的与板内构造-岩浆演化有关的锡多金属矿床,典型矿床包括大井、沙麦、查木罕、维拉斯托、

白音查干、双尖子山、白音诺尔、宝盖沟锡、毛登和安乐锡多金属矿床(图1c)。这些矿床均以多金属成矿为特征,并处于造山后伸展的构造环境,可能为蒙古—鄂霍次克和古太平洋构造体系共同作用的产物。

## 5 基金项目(Fund support)

本研究由中国地质调查局项目(DD20221795、DD20221684)资助。

附表 安乐锡多金属矿床锡石LA-ICP-MS U-Pb 测试结果

Attached Table LA-ICP-MS U-Pb testing results of Anle Sn-polymetal deposit

点位	Pb	Th	U	同位素比值				rho
	$10^{-6}$		$^{207}\text{Pb}/^{206}\text{Pb}$	$1\sigma$	$^{207}\text{Pb}/^{235}\text{U}$	$1\sigma$	$^{206}\text{Pb}/^{238}\text{U}$	
AL-19-9-2	28.1279	0.0393	9.0414	0.73075	0.01624	16.67537	0.73136	0.16227
AL-19-9-4	1.9854	0.0017	1.7941	0.61890	0.04158	6.10759	0.59756	0.06795
AL-19-9-5	10.7752	0.0070	6.7446	0.63009	0.01967	6.75755	0.44657	0.07522
AL-19-9-6	32.9133	0.0197	1.8287	0.83563	0.01482	83.21276	3.13266	0.73332
AL-19-9-7	77.0739	0.0379	4.1034	0.85465	0.02456	90.91101	3.83146	0.77658
AL-19-9-8	3.6718	0.0032	7.9138	0.39808	0.01645	2.21326	0.12214	0.04099
AL-19-9-9	60.3567	0.0332	6.7794	0.78587	0.01694	43.36147	3.09803	0.41248
AL-19-9-10	113.1511	0.0555	13.8663	0.80058	0.01278	41.43624	1.71018	0.38074
AL-19-9-12	22.6207	0.0217	3.7826	0.77804	0.02034	32.86179	3.36609	0.29282
AL-19-9-13	51.9938	0.0455	6.1035	0.79905	0.01084	37.86014	3.41844	0.34223
AL-19-9-14	140.3074	0.0578	6.9426	0.86777	0.03636	94.17740	4.62017	0.80065
AL-19-9-17	44.5670	0.0166	7.2326	0.77603	0.01400	31.46080	2.33011	0.28499
AL-19-9-18	135.7870	0.0354	9.7114	0.82046	0.00927	66.09969	3.71417	0.58388
AL-19-9-19	72.3196	0.0396	7.0635	0.80626	0.00872	48.94569	1.63124	0.44118
AL-19-9-20	7.9359	0.0022	4.4165	0.48882	0.03846	8.10324	1.52161	0.08560
AL-19-9-21	116.2126	0.0287	8.8373	0.81968	0.01121	63.35347	3.89114	0.55898
AL-19-9-22	37.7042	0.0395	3.8570	0.83173	0.02423	50.65832	3.11575	0.43606
AL-19-9-25	4.6739	0.0039	0.9323	0.82652	0.04813	25.76901	1.80873	0.24150
AL-19-9-27	37.3673	0.0712	3.4900	0.88211	0.05476	54.23255	4.68686	0.43856
AL-19-9-28	79.1352	0.0662	9.3580	0.78631	0.01034	39.01181	1.42647	0.36296
AL-19-9-29	56.6636	0.0315	9.6219	0.80094	0.01545	28.39659	0.86232	0.29675
AL-19-9-30	12.1736	0.2412	3.9783	0.67676	0.03478	13.90179	2.49744	0.14449
AL-19-9-31	3.6125	0.0062	12.9664	0.28036	0.01548	1.38312	0.16028	0.03335
AL-19-9-32	77.1064	0.0340	7.7728	0.81267	0.01078	47.04451	1.44420	0.41897
AL-19-9-33	67.9792	0.0248	7.2881	0.78433	0.01089	40.45361	3.45489	0.36871
AL-19-9-34	67.0447	0.0274	8.9903	0.81827	0.02874	35.78800	2.66119	0.31099
AL-19-9-35	54.7256	0.0539	6.5567	0.80066	0.01268	41.55674	1.47728	0.38921
AL-19-9-36	183.9872	0.0604	3.3866	0.84844	0.01020	264.28850	15.26640	2.24563
AL-19-9-37	567.1051	0.1030	6.4905	0.88567	0.02778	481.88926	53.96785	3.97819
AL-19-9-38	79.4492	0.0451	4.3902	0.81955	0.01067	85.94972	3.16484	0.76608
AL-19-9-39	110.7616	0.0834	9.2944	0.83467	0.00977	55.17796	2.26601	0.48286